



---

# Сцинтилляционные материалы – настоящее и будущее

А.В.Гектин

*Институт сцинтилляционных материалов,  
Харьков, Украина*



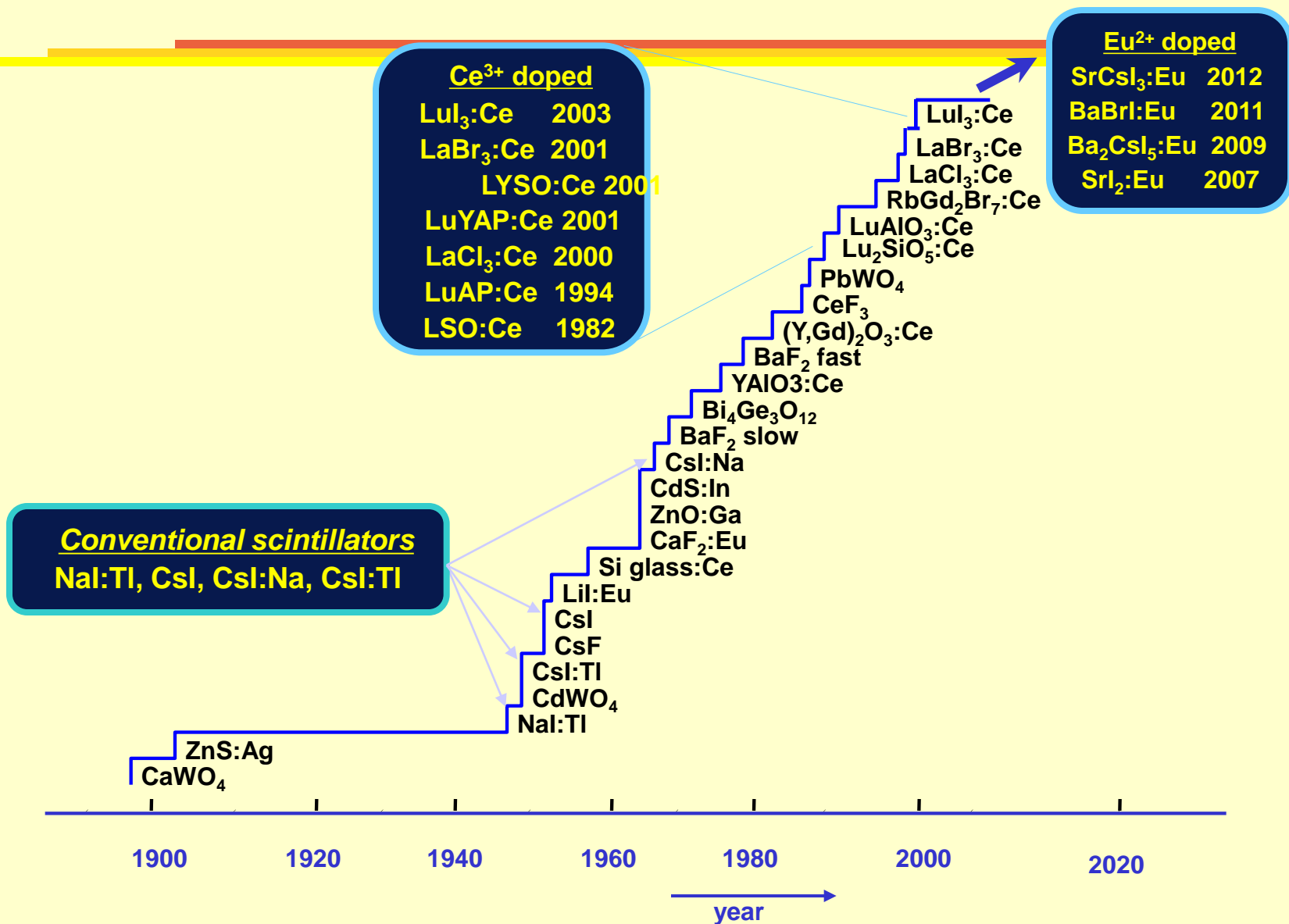
# СОДЕРЖАНИЕ

---

- История и эволюция сцинтилляторов
- В поисках идеального сцинтиллятора
- Каналы потерь энергии
- Понимание растет, предсказуемость – отстает
- Альтернативные технологии
- Можно ли получить дешевый сцинтиллятор?



# История развития сцинтиляционных материалов





# СОДЕРЖАНИЕ

---

- История и эволюция сцинтилляторов
- В поисках идеального сцинтиллятора
- Каналы потерь энергии
- Понимание растет, предсказуемость – отстает
- Альтернативные технологии
- Можно ли получить дешевый сцинтиллятор?



# Мечта инженера... Потребительские цели

---

## Optimal scintillator

Effective = efficient + available + cheap

efficient ~ 100.000 ph/MeV, 3% resolution (662 keV)

available ~ size 400 mm

cheap ~ 3-4 \$/cc



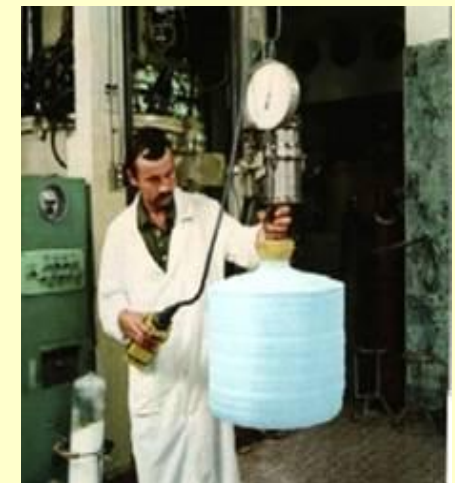
# Особенности новых и классических сцинтилляторов ISMART - 2014

**Новинки разработок сцинтилляционных материалов  
(см также :**

П.Жмурин, И.Немченок - Пластмассовые сцинтилляторы

О.Сидлецкий – Оксидные сцинтилляторы

Н.Ширан – Галоидные сцинтилляторы



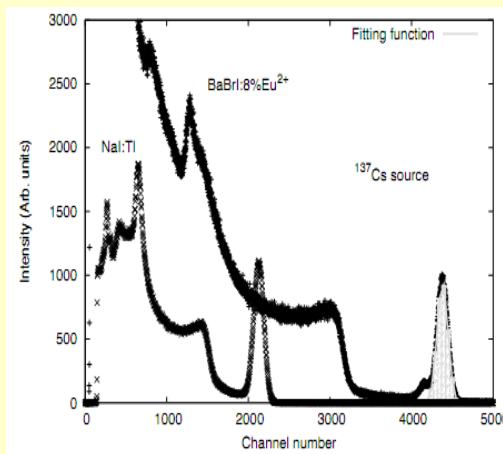


# Наиболее эффективные галоидные сцинтиляторы

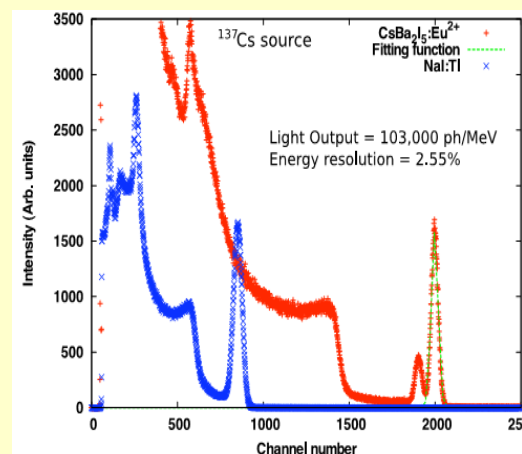
Crystal	$\rho$ g/cm <sup>3</sup>	Lum $\lambda$ , nm	LY ph/Mev	R, % $Cs^{137}$	Decay $\tau$ , ns	Hygro- scropy	References
CaI <sub>2</sub> :Eu	3.96	467	110.000	5,2	1.000	strong	Cherepy, Moses, Derenzo, Bizarri, Bourret et al. 2007 - 2012
SrI <sub>2</sub> :Eu	4.55	435	115.000	2.6	1.500	strong	
Ba <sub>2</sub> CsI <sub>5</sub> :Eu	4.9	435	102.000	2.55	383;1.500	medium	
SrCsI <sub>3</sub> :Eu	4,25	458	73.000	3.9	2.200	medium	Zhuravleva et al. 2012
BaBrI :Eu	5.2	413	97.000	3,4	500	low	Bizarri et al. 2011
Nal : Tl	3.67	415	44.000	5.6	230	strong	
CsI : Tl	4.53	560	56,000	6.0	980	no	
CsI : Na		420	46,000	6.4	600	low	



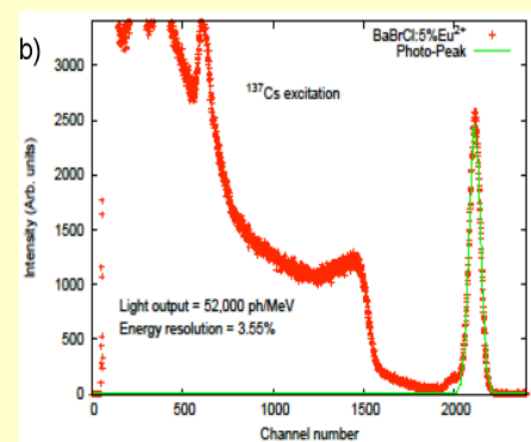
# Амплитудные спектры некоторых новых сцинтилляторов ( $^{137}\text{Cs}$ )



BaBrI:Eu



CsBa<sub>2</sub>I<sub>5</sub>:Eu



BaBrCl:Eu

LBL, USA  
Bourret, Derenzo, Bizarri et al. 2009-2012



# Все новое – хорошо забытое старое... (Еу-легированные сцинтилляторы) (history and reality)

Luminescence study 1948 - 1975	
LiCl :Eu	Lehmann, 1975
LiI :Eu	Murray, 1958
CaI <sub>2</sub> :Eu	Hofstadter, 1963 Lyskovich, 1970
CaF <sub>2</sub> :Eu	Butement, 1948
SrCl <sub>2</sub> :Eu	Lehmann, 1975
SrBr <sub>2</sub> :Eu	
SrI <sub>2</sub> :Eu	Hofstadter, 1968, US Patent,3373279
SrI <sub>2</sub> :Eu <i>scintillator</i>	

New demands have led to discovery  
several new Eu-doped scintillators

New scintillators 2007 - 2013	
CaI <sub>2</sub> :Eu	LLNL, LBNL, USA Cherepy, Moses et al. 2007 - 2009
SrI <sub>2</sub> :Eu	LBNL, USA Bourret, Derenzo et al. 2010
Ba <sub>2</sub> CsI <sub>5</sub> :Eu	
BaBrl:Eu	SMRC, Tennessee, USA, Zhuravleva, Melcher et al.2010
BaFl:Eu	
SrCsI <sub>3</sub> :Eu	SMRC, Tennessee, USA, Zhuravleva, Melcher et al.2010
CsEuI <sub>3</sub>	
Cs <sub>3</sub> EuI <sub>5</sub>	





# Ce doped Oxide Scintillators

Crystal	Density, g/cm <sup>3</sup>	Light yield, phot/MeV	Energy resolution, % ( <sup>137</sup> Cs, 662 KeV)	Decay time, ns ( $\gamma$ -exc.)	Afterglow, % (after 5 ms),
Gd <sub>2</sub> SiO <sub>5</sub> (GSO)	6.7	<b>8000- 11000</b>	9 – 11	50	0.02
Lu <sub>2</sub> SiO <sub>5</sub> (LSO)	7.4	<b>25000- 30000</b>	7.3 – 9.7	40	> 1
Lu <sub>2</sub> Si <sub>2</sub> O <sub>7</sub> (LPS)	6.2	<b>26000</b>	9.5	38	~0.02
Y <sub>3</sub> Al <sub>5</sub> O <sub>12</sub> (YAG)	4.55	<b>24000</b>	7.3	85 + slow	ND
Lu <sub>3</sub> Al <sub>5</sub> O <sub>12</sub> (LuAG)	6.7	<b>12500</b>	ND	44	ND
YAlO <sub>3</sub> (YAP)	5.35	<b>21000</b>	6.7	27	ND
LuAlO <sub>3</sub> (LuAP)	8.34	<b>11000</b>	14	16 + slow	ND

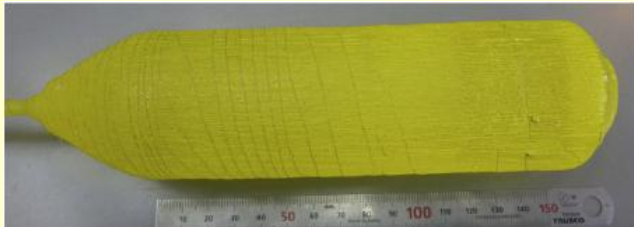
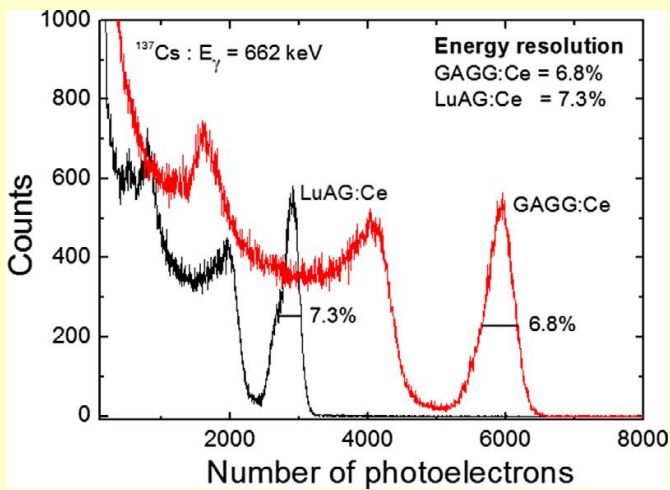


# Рекорды оксидных сцинтилляторов

56000 фот/МэВ

Ce:Gd<sub>3</sub>(Al,Ga)<sub>5</sub>O<sub>12</sub>

ИСМА



Furukawa&Yoshikawa Lab



Ливерморская лаборатория  
R=4.5 % на 662 кэВ!

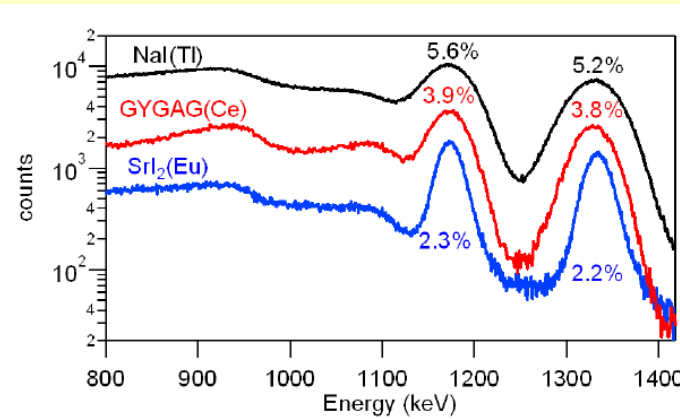


Fig. 5. Gamma spectra of <sup>60</sup>Co using 1 in<sup>3</sup> scintillators of SrI<sub>2</sub>(Eu), GYGAG(Ce) and NaI(Tl).





# Максимальный сцинтиляционный выход

Scintillator efficiency:

$$N_{ph} = \beta S Q$$

$$\beta = \frac{E_\gamma}{E_{e-h}}$$

$E_\gamma$  quantum energy

$E_{e-h}$  = ~ 2.4  $E_g$

$S$  energy transfer efficiency

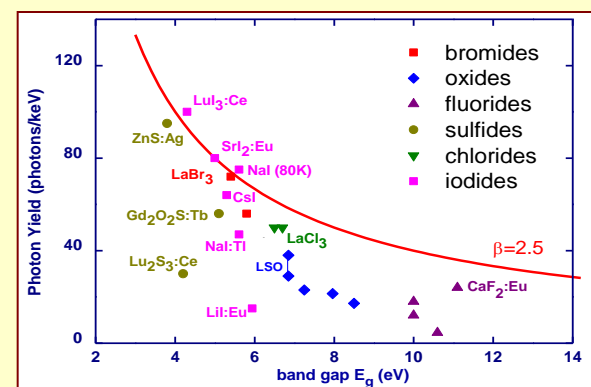
$Q$  luminescence center efficiency

$Q$  is ~ 1 for many typical activators, Ce, Eu etc

$S$  is also ~1 for many hosts.

1-5% of uniform distributed activator minimizes the transfer length to 2-5  $a$  (lattice parameters)

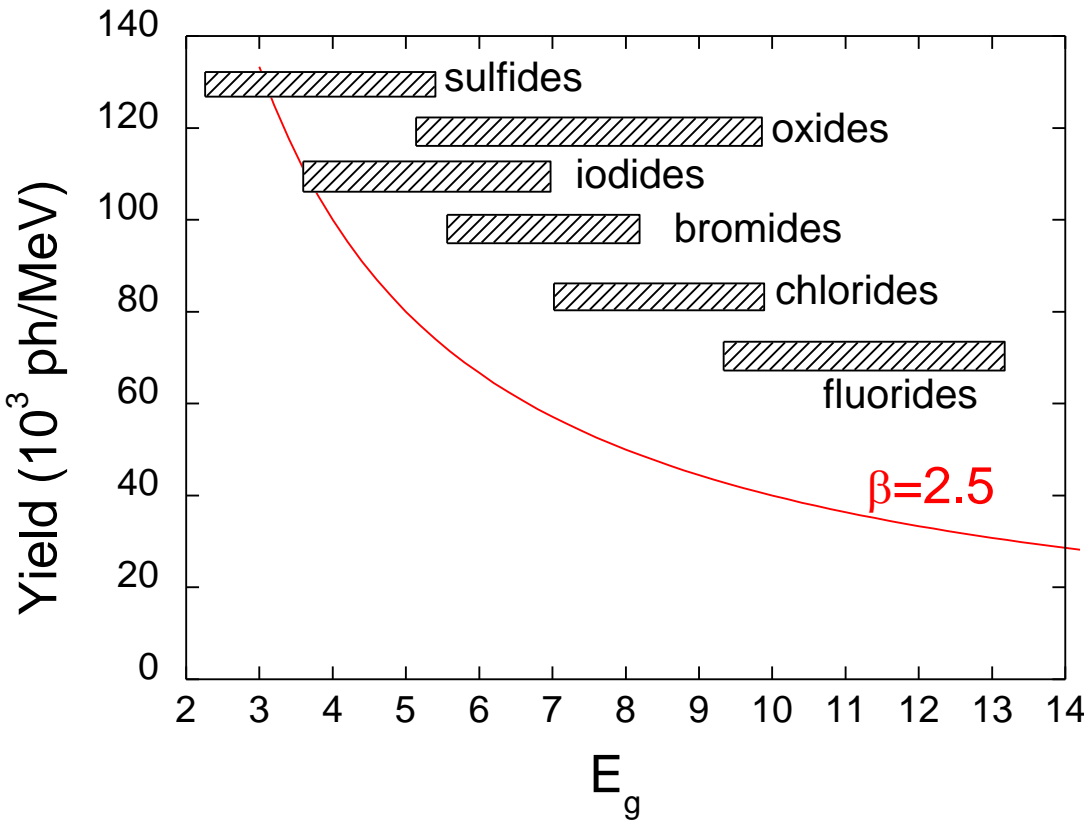
$\beta$  – e-h creation efficiency is a key to the new material search and investigation



P.Dorenbos, SCINT, 2009



# Фундаментальные пределы выхода сцинтиляций



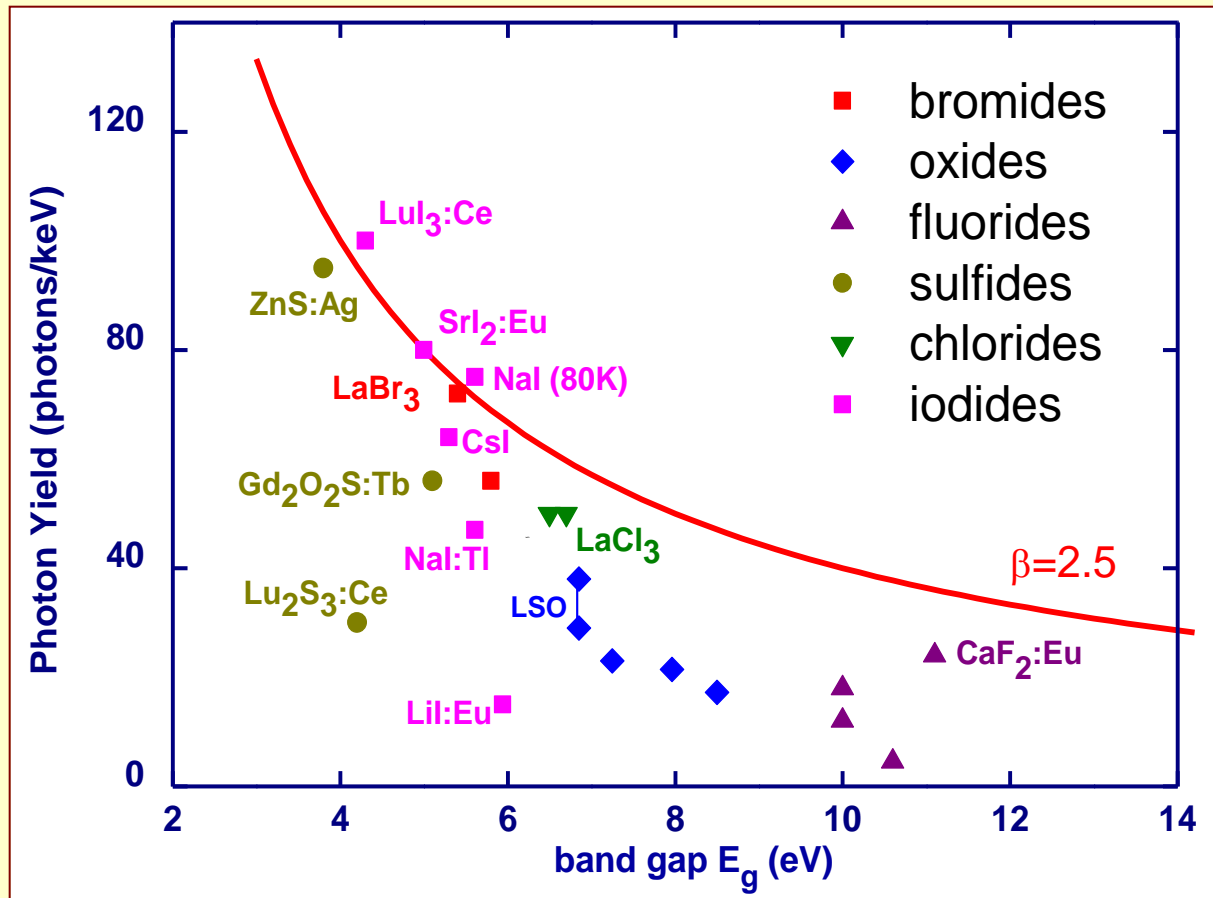
P.Dorenbos

$$N_{eh} = \frac{E_\gamma}{\beta E_{gap}}$$
$$\frac{N_{ph}}{E_\gamma} \leq \frac{1}{\beta E_g}$$
$$N_{eh} = (E_\gamma / E_{eh}) S Q$$

**S – energy transfer**  
**Q – luminescence efficiency**  
 **$E_\gamma$  –  $\gamma$ -ray energy**  
 **$E_{eh} \approx 2.5 E_g$**   
**( $E_g$  – energy gap)**



# Фундаментальные пределы

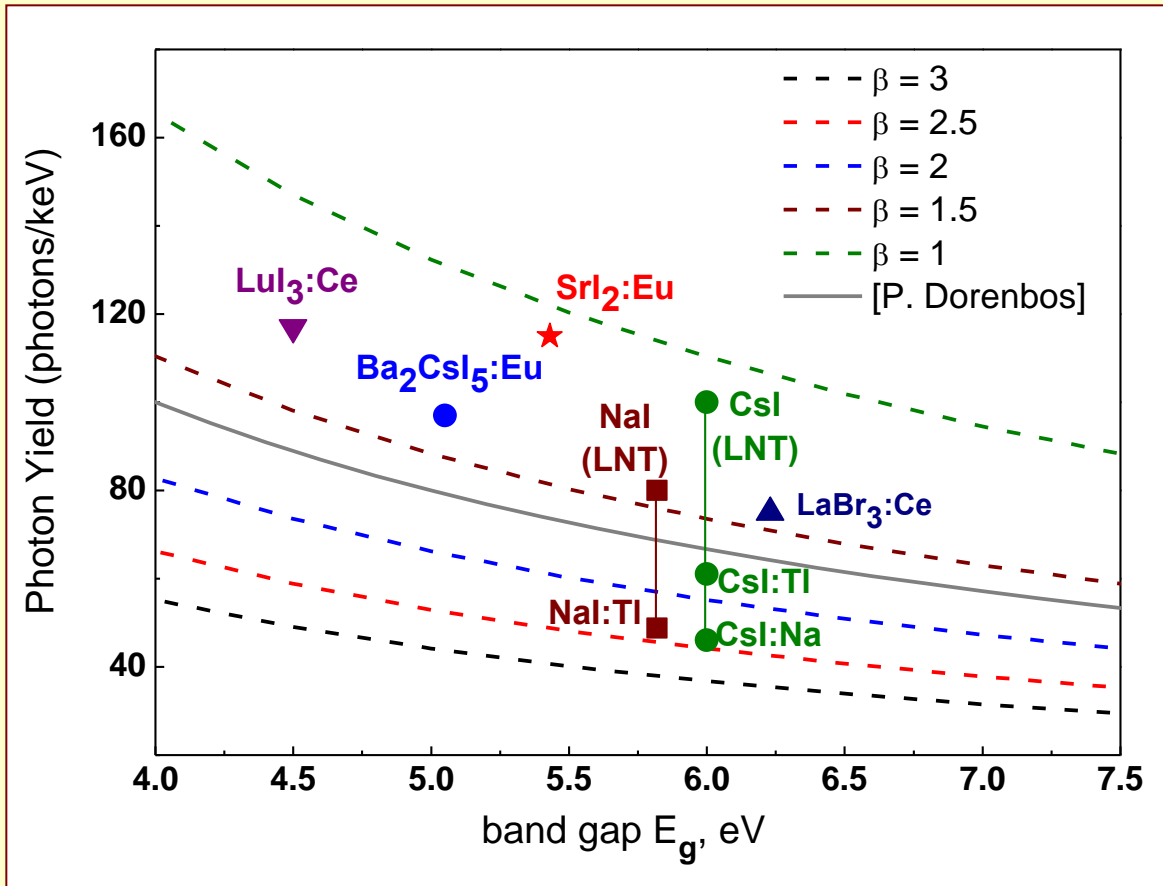


$$N_{eh} = \frac{E_\gamma}{\beta E_{gap}}$$
$$\frac{N_{ph}}{E_\gamma} \leq \frac{1}{\beta E_g}$$

[P.Dorenbos, 2009]



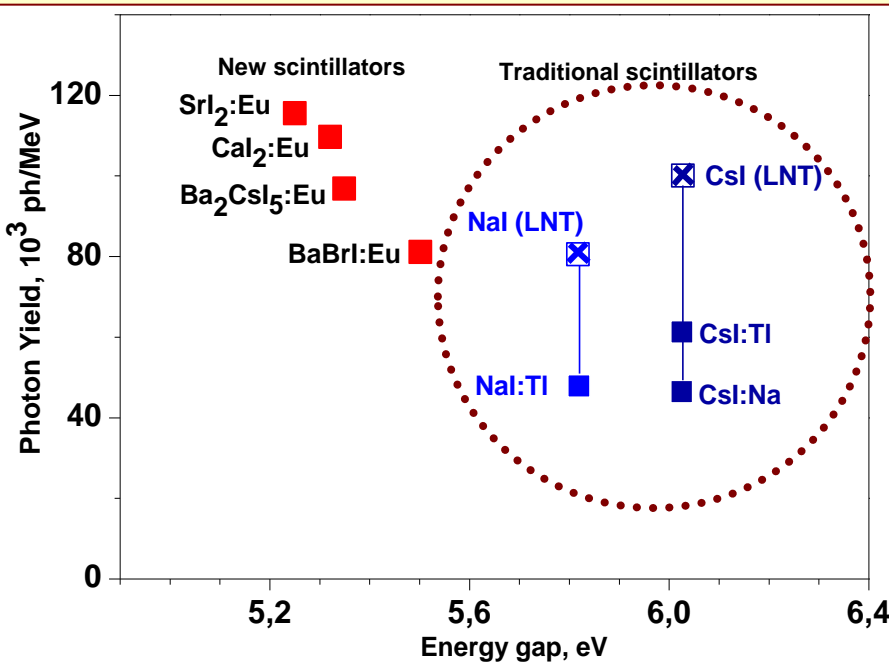
# Пределы для разный квантовых выходов электронно дырочных пар





# Пределы для типичных сцинтилляторов на основе NaI и CsI кристаллов

$$LY \approx 10^6 SQ / \beta E_g = \eta 10^6 / E_g; \eta = SQ/\beta; \eta = 0,5$$



Experimental data are far from theoretical limit for NaI and CsI based crystals

Crystal	E <sub>g</sub> , eV	LY, ph/Mev theor.	LY, ph/Mev exp.
NaI (77K)	5.8	86.000	80.000
NaI:Ti (RT)			45.000
CsI (77K)			100.000
CsI:Ti (RT)	6.1	82.000	56.000
CsI:Na (RT)			46.000

✓ Pure NaI and CsI possess extremely high photon yield at LNT [V.Sciver, 1958; Persyk, 1980; Moszynski et al, 2010]

**Both NaI and CsI could be the source of efficient scintillators with optimal activator !**



# СОДЕРЖАНИЕ

---

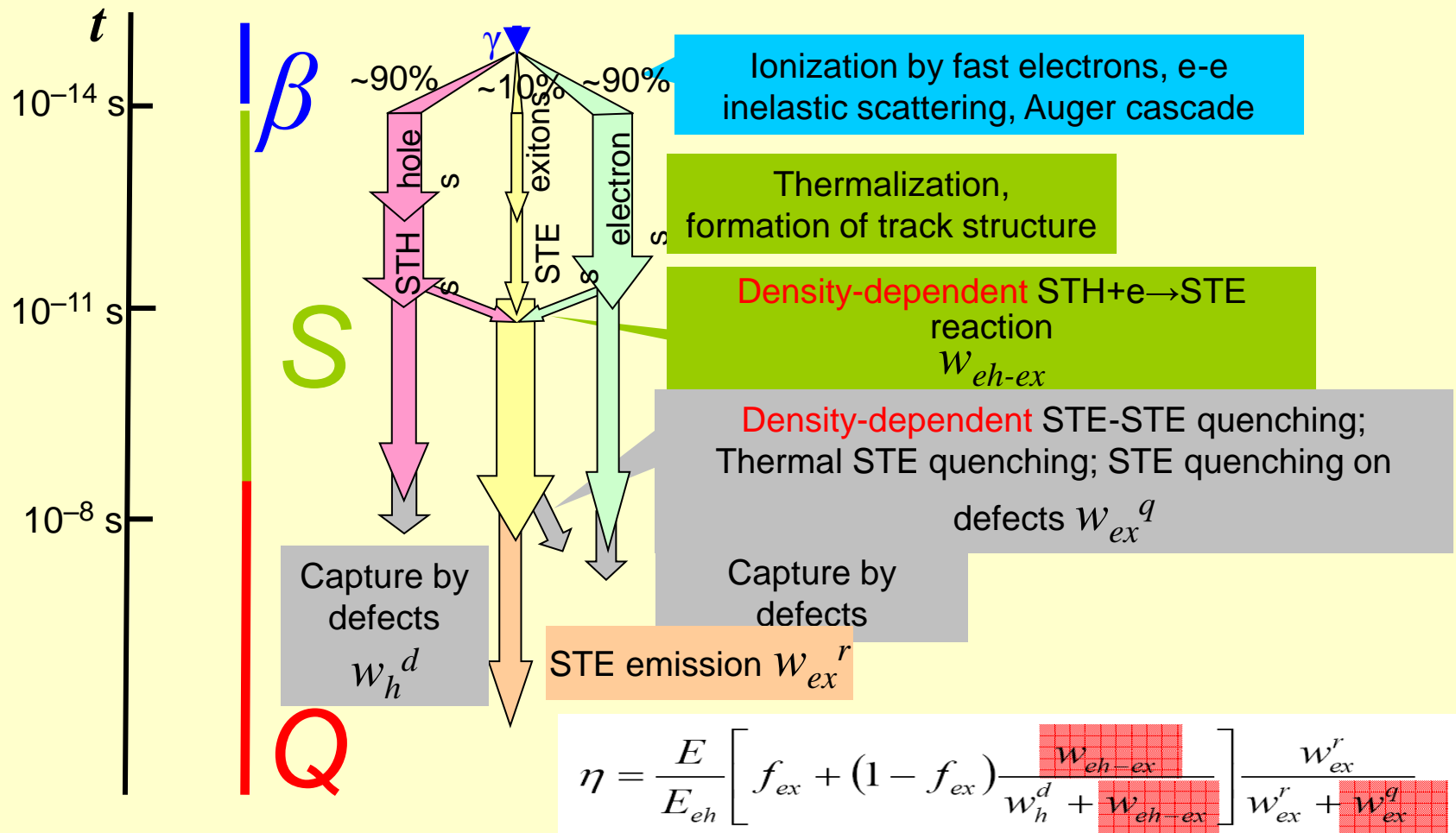
- История и эволюция сцинтилляторов
- В поисках идеального сцинтиллятора
- Каналы потерь энергии
- Понимание растет, предсказуемость – отстает
- Альтернативные технологии
- Можно ли получить дешевый сцинтиллятор?



# Куда девается энергия поглощенного кванта?

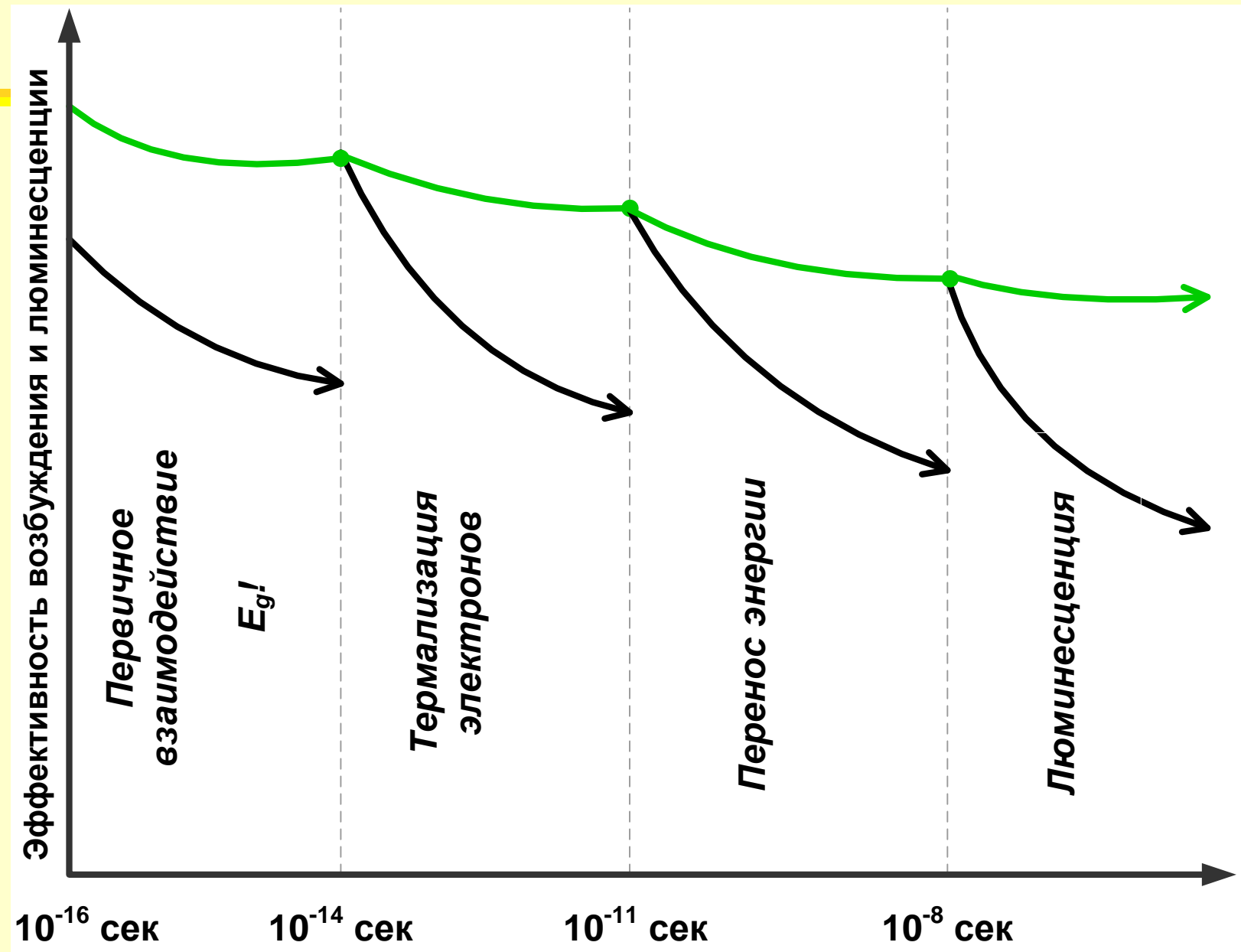
$$N_{ph} = \beta S Q$$

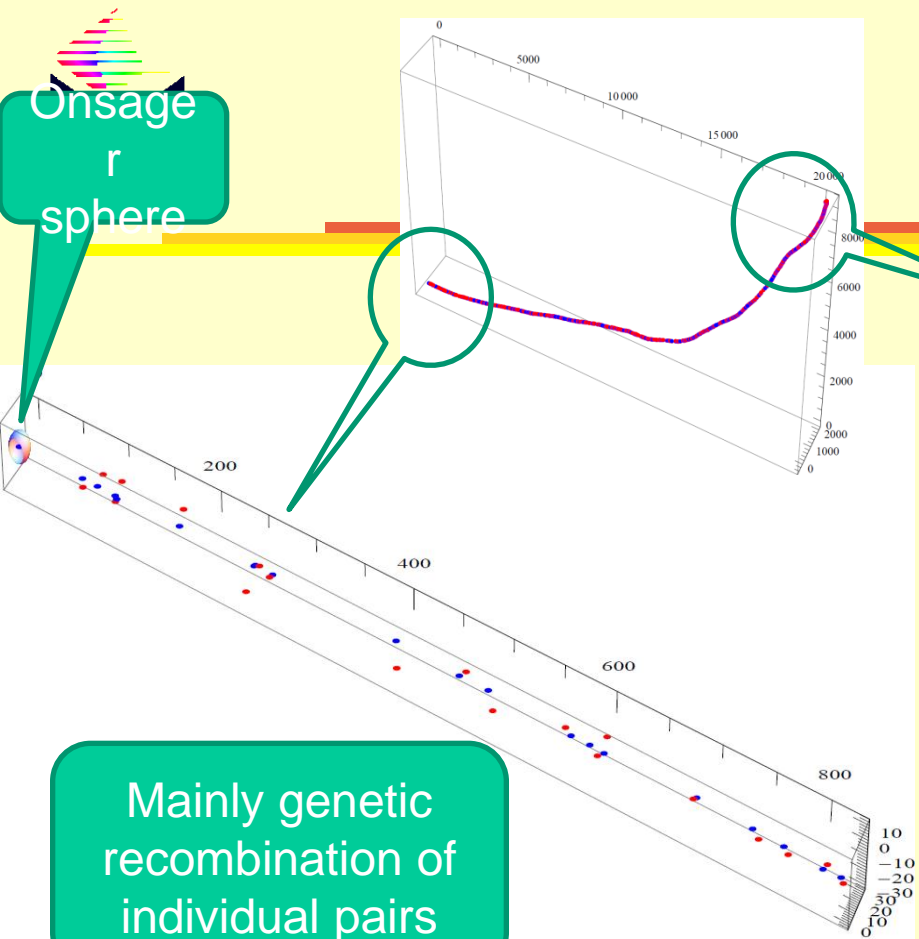
A.Vasil'ev, A.Gektin



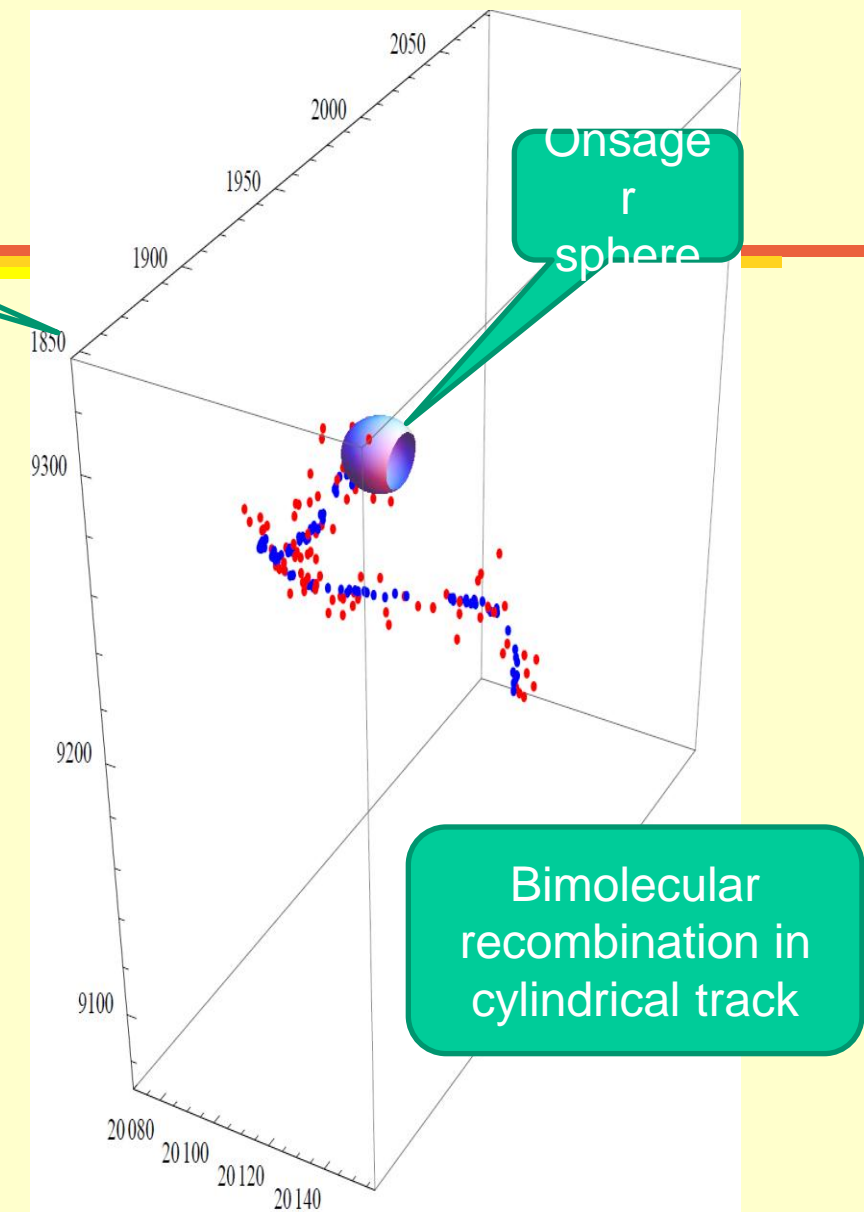


# Преобразование энергии в широкозонных диэлектриках





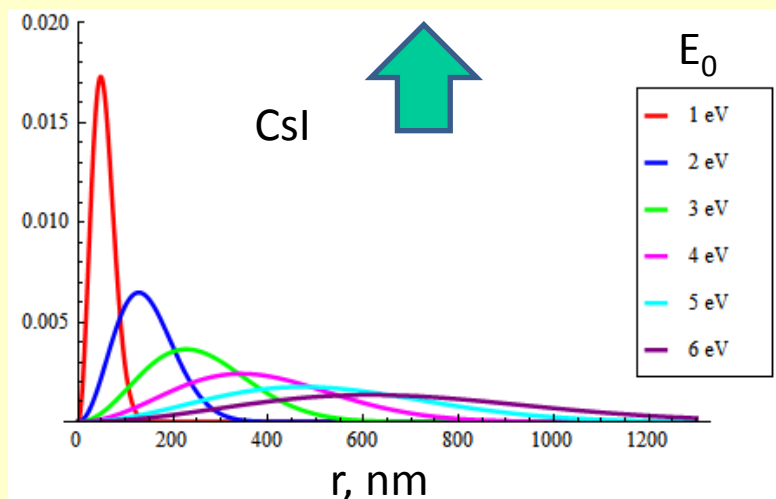
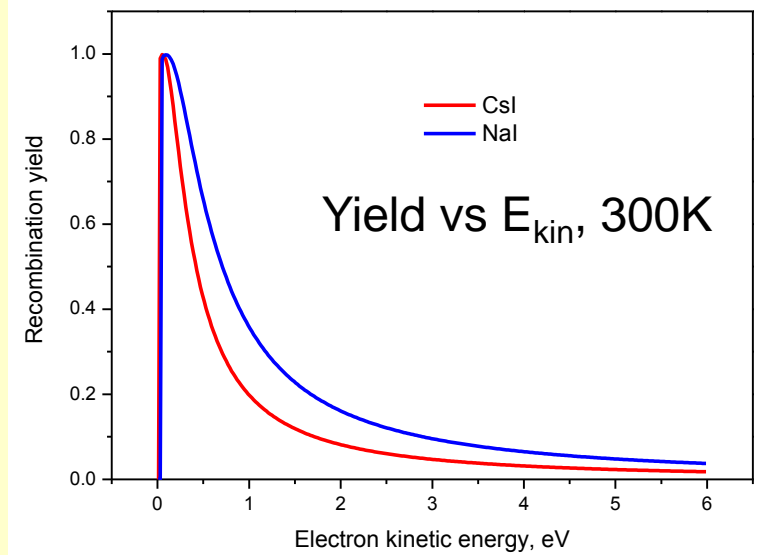
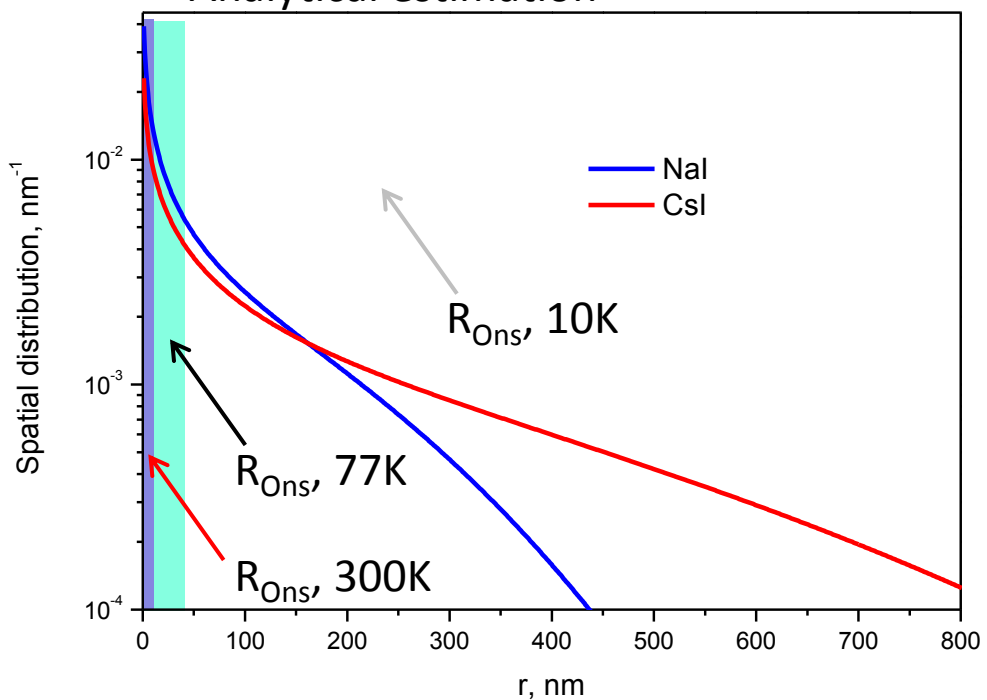
30 keV electron track,  
 $r_{e,\text{th}}=6 \text{ nm}$ ,  
 $r_{h,\text{th}}=0.6 \text{ nm}$  (red=e, blue=h)





# Разлет и термализация электронно-дырочных пар

Analytical estimation



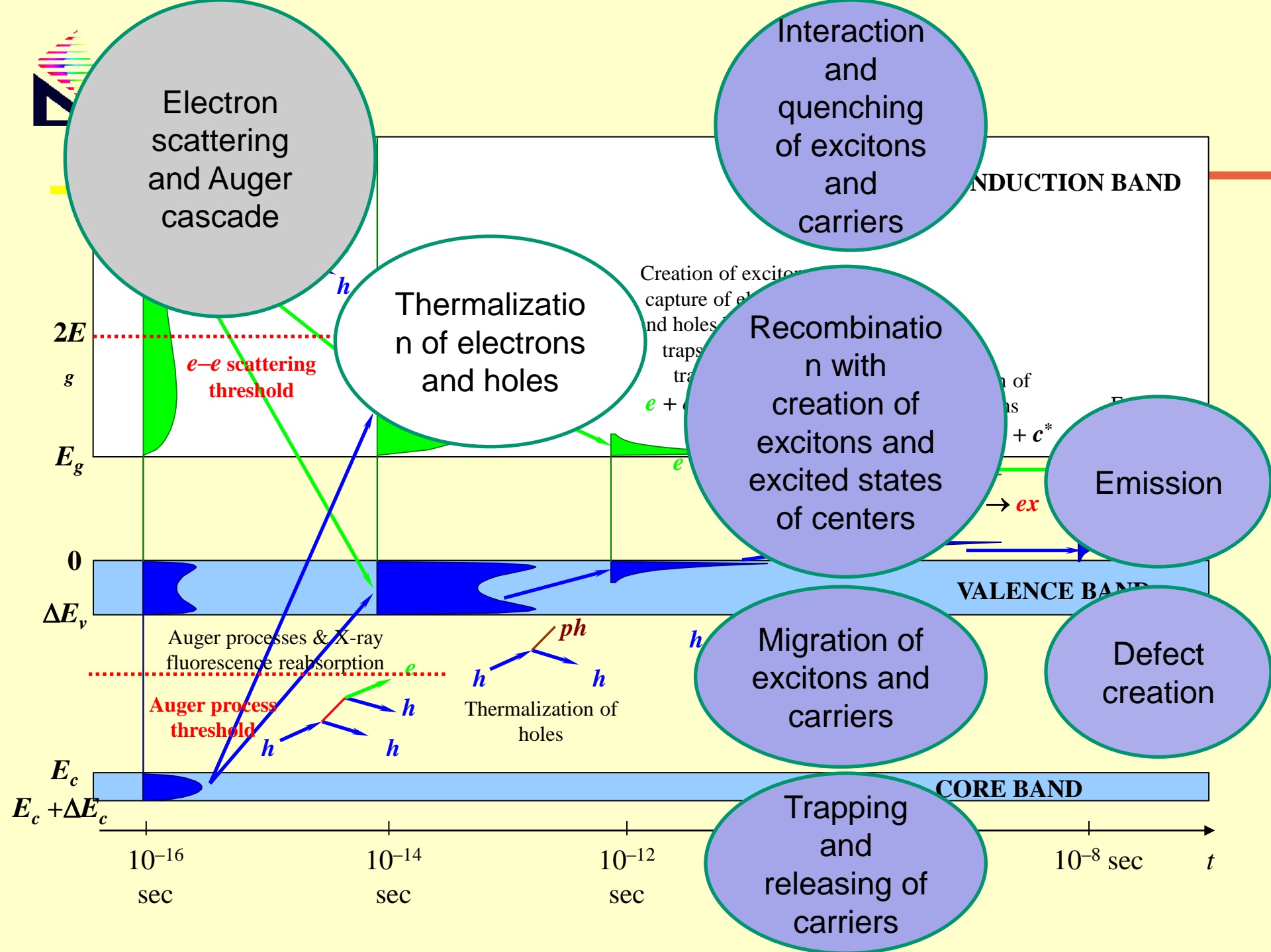
	$R_{\text{Ons}}, 300\text{K}$	Yield, 300K	Yield, 77K
CsI	9.87 nm	0.24	0.44
Nal	9.05 nm	0.34	0.58



# СОДЕРЖАНИЕ

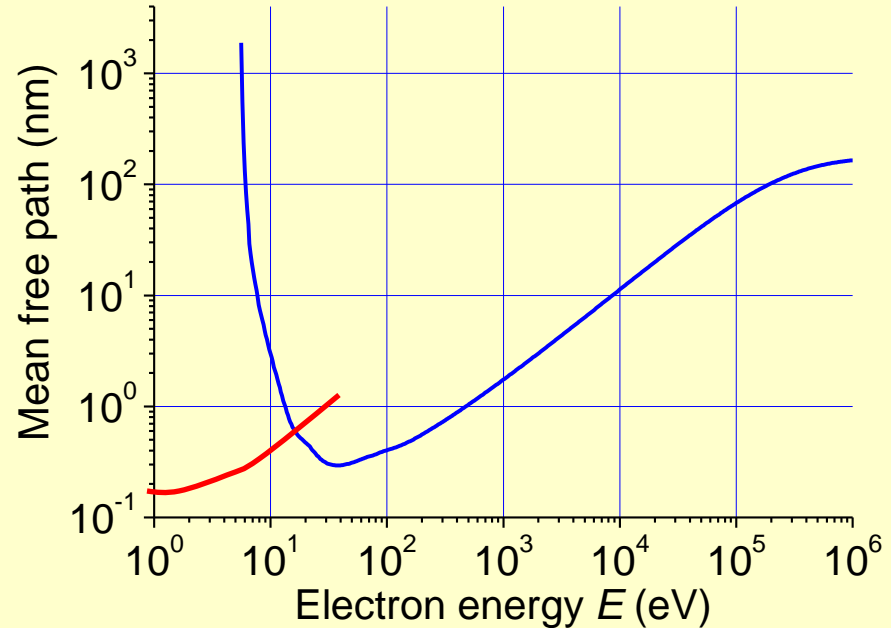
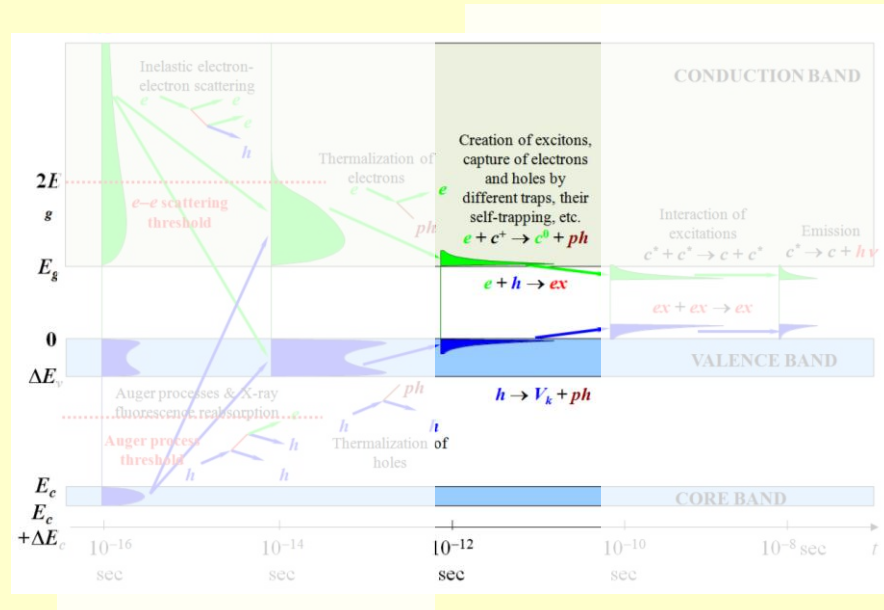
---

- История и эволюция сцинтилляторов
- В поисках идеального сцинтиллятора
- Каналы потерь энергии
- Понимание растет, предсказуемость – отстает
- Альтернативные технологии
- Можно ли получить дешевый сцинтиллятор?

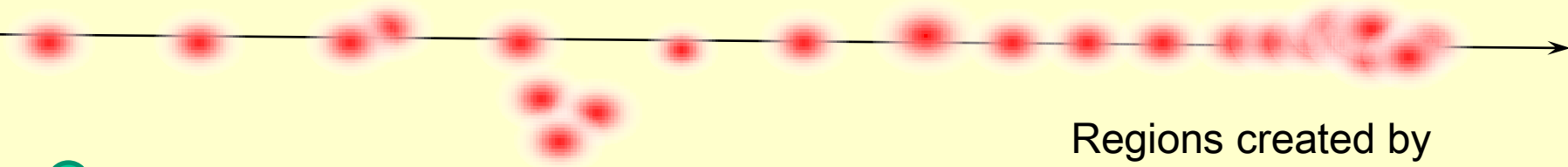




# Spatial track structure for e-h Onsager recombination stage for small thermalization radius



'Real' track structure

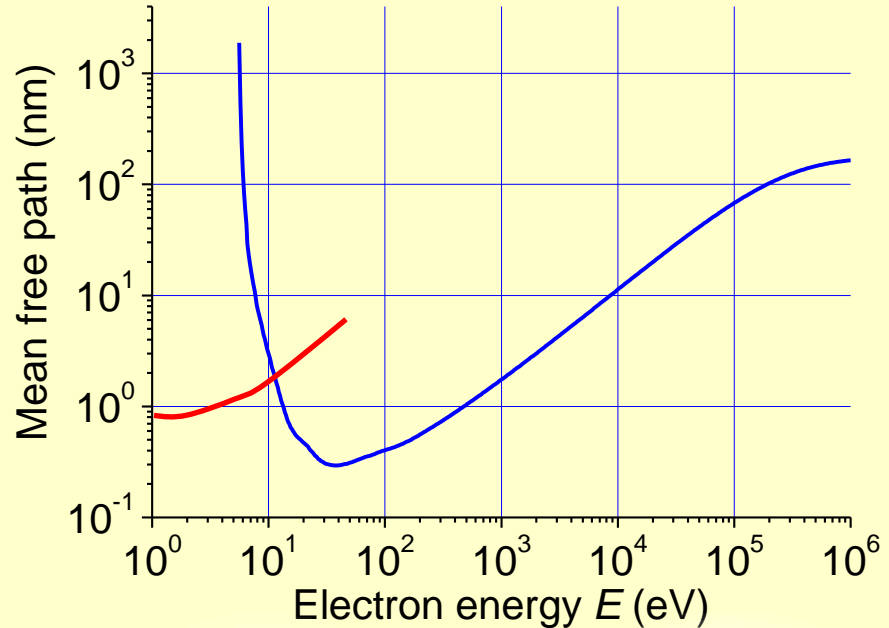
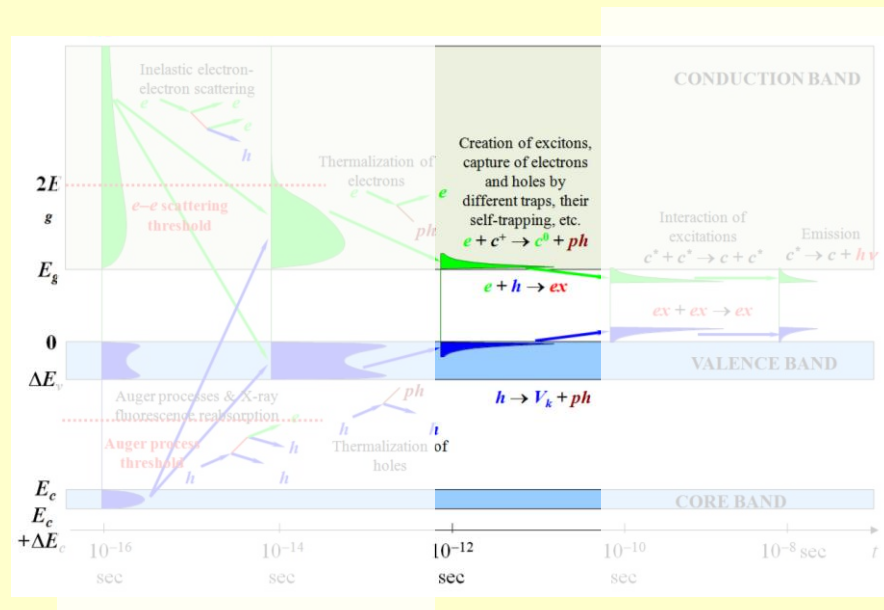


Onsager radius 10 nm

Regions created by different virtual photons are overlapped



# Spatial track structure for e-h Onsager recombination stage for large thermalization radius

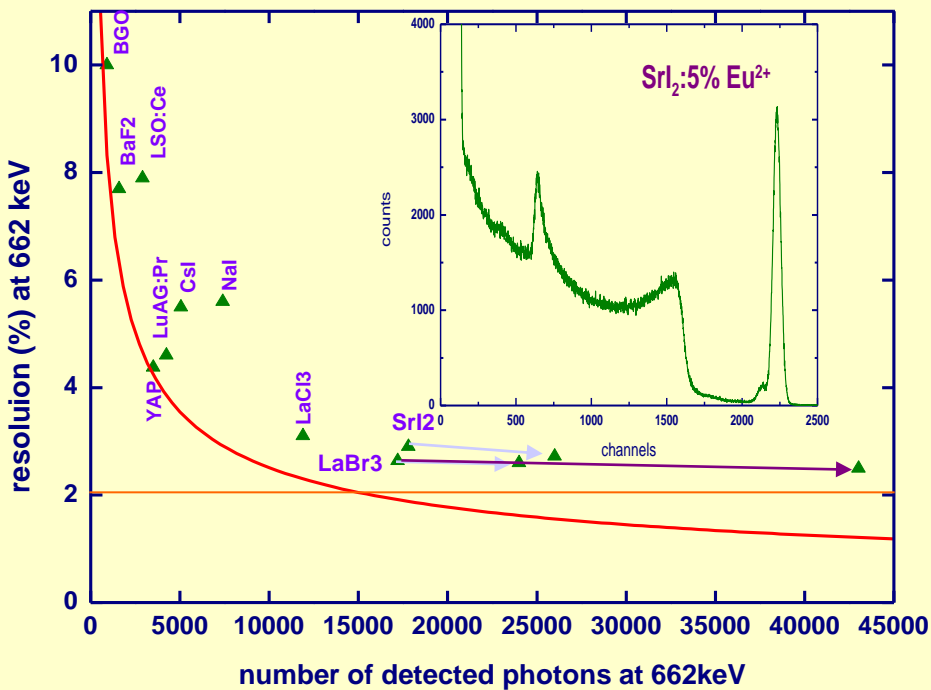


'Real' track structure

● Onsager radius 10 nm



# Энергетическое разрешение (662 keV)



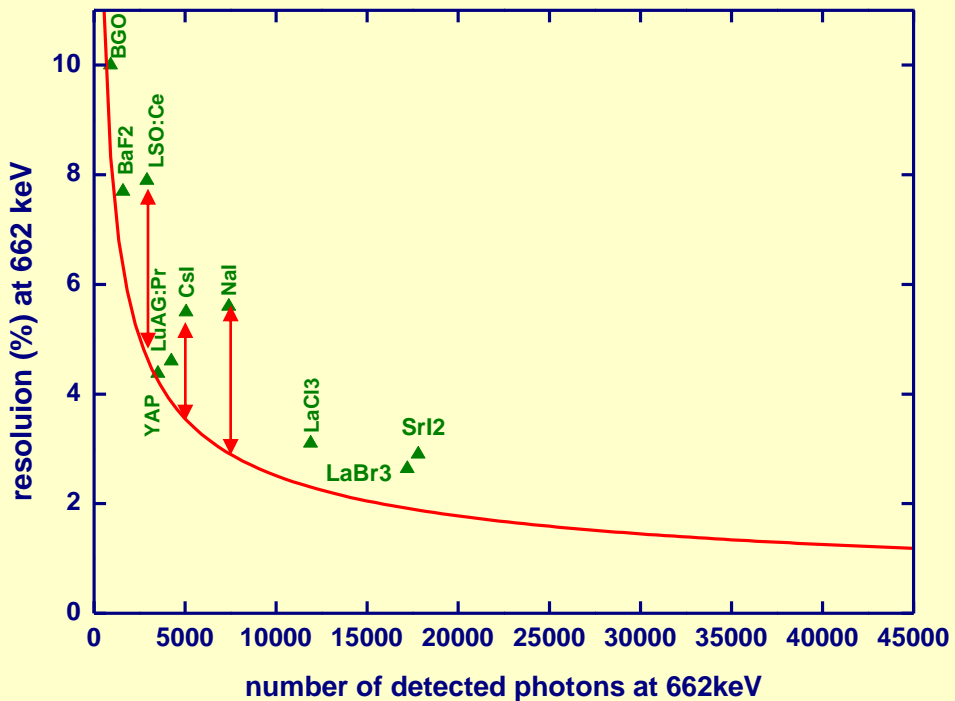
\* Results with new Hamamatsu super-bialkali R6231-100 PMT

Significantly higher number of detected photons

Resolution improvement is marginal



# Энергетическое разрешение ( 662 keV )



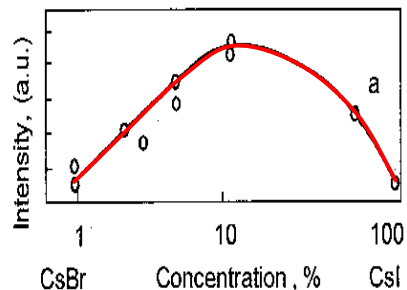
$$R_{\text{stat}} = 2.35 \sqrt{\frac{1 + 0.15}{N_{dph}}}$$

YAlO<sub>3</sub>:Ce, Lu<sub>3</sub>Al<sub>5</sub>O<sub>12</sub>:Pr, LaCl<sub>3</sub>:Ce, LaBr<sub>3</sub>:Ce, SrI<sub>2</sub>:Eu are reasonably close to fundamental limit.

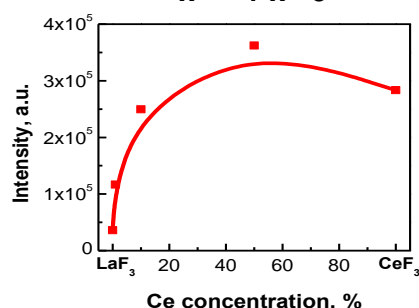


# Как улучшить эффективность сцинтилляторы?

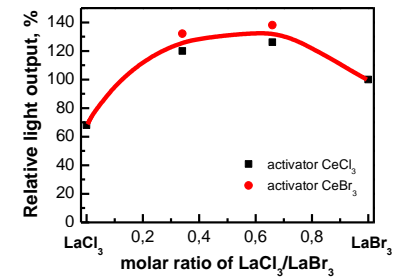
### CsI-CsBr



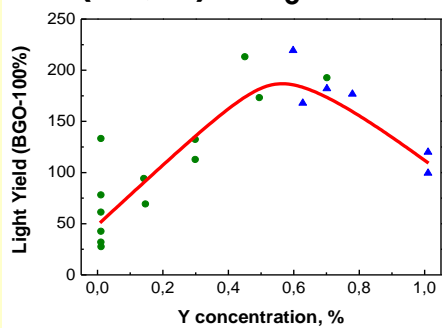
### Ce<sub>x</sub>La<sub>1-x</sub>F<sub>3</sub>



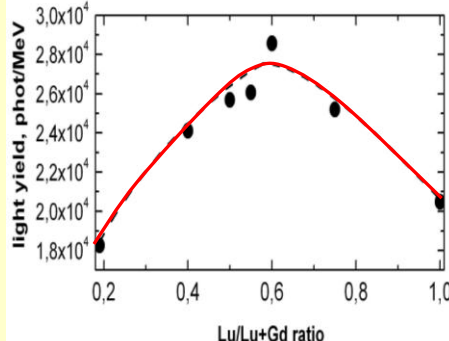
### LaCl<sub>3</sub>-LaBr<sub>3</sub>



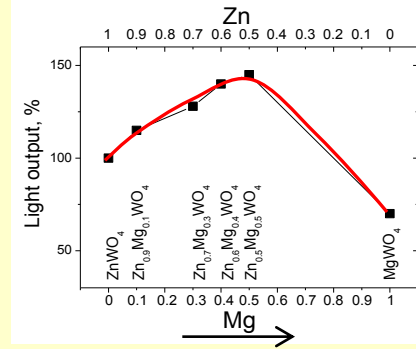
### (Lu, Y)AlO<sub>3</sub>: Ce



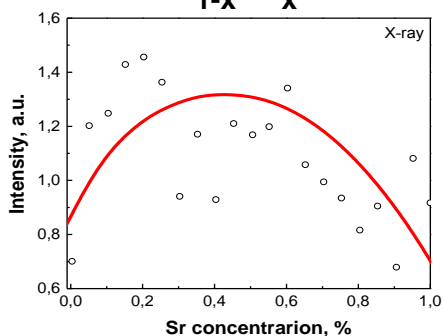
### LGSO:Ce



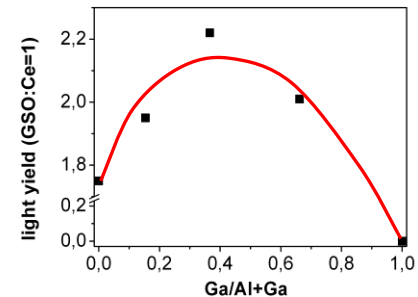
### Zn<sub>x</sub>Mg<sub>1-x</sub>WO<sub>4</sub>



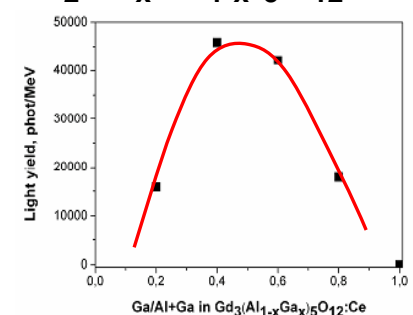
### Ca<sub>1-x</sub>Sr<sub>x</sub>S



### YAGG:Ce



### Gd<sub>2</sub>(Al<sub>x</sub>Ga<sub>1-x</sub>)<sub>5</sub>O<sub>12</sub>:Ce





# СОДЕРЖАНИЕ

---

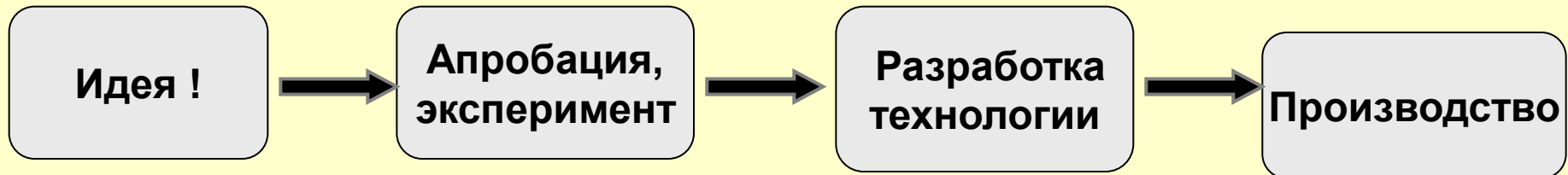
- История и эволюция сцинтилляторов
- В поисках идеального сцинтиллятора
- Каналы потерь энергии
- Понимание растет, предсказуемость – отстает
- Альтернативные технологии
- Можно ли получить дешевый сцинтиллятор?



# От идеи до промышленного производства

---

Классический цикл :



**NaI(Tl)** – 25 лет

**PWO** - 17 лет

**LYSO** - 6-8 лет

**LaBr<sub>3</sub>** - 6-8 лет

**SrI<sub>2</sub>** - 7 разработок, а технологии нет

**В чем проблема?**



# История первых сцинтилляторов

1952 – Anger Algorithm

1963 – Gamma-camera prototype



Large NaI(Tl) needs



Prof. R. Hofstadter (Stanford)

and Dr. D. Stockbarger (MIT)

Harshaw Chemical Company  
(founded 1890, Cleveland, Ohio)



1952 – 0,5“ dia growth  
1974 – 21“ dia growth

Dr. Carl Swinehart  
In Harshaw from  
1932 to 1990

R&D supervisors !!! :

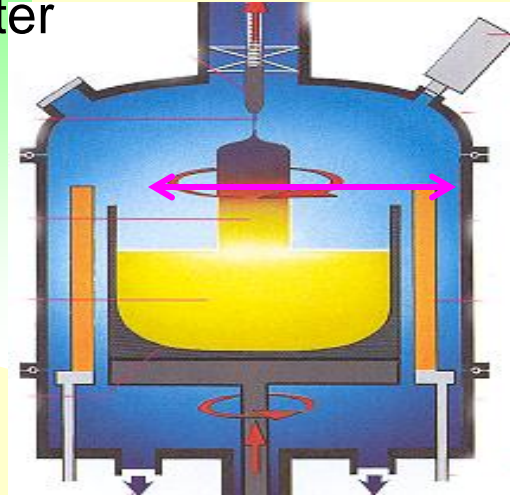
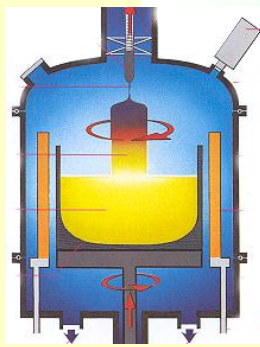


Scanned at the American Institute of Physics



# Две альтернативы в промышленном подходе

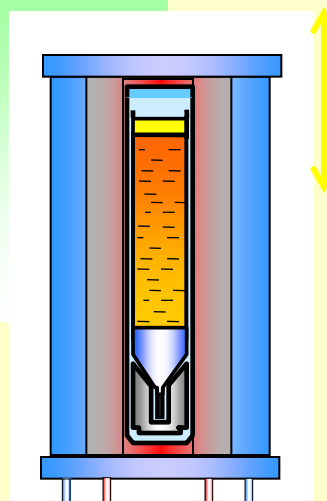
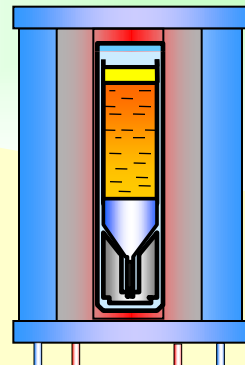
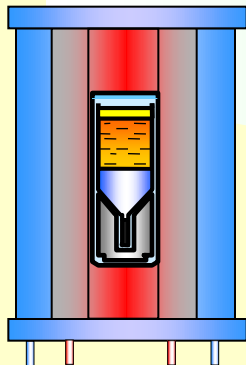
## 1. Increase of crystal / crucible diameter



**Czochralski**

- increased power input
- melt turbulences

## 2. Lengthening of crystal / melt height



**VGF**

- increased interaction with ampoule
- increasing melt convection



# Кремний – как пример развития технологий

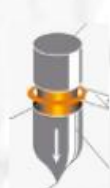
*Czochralski  
(mono)*



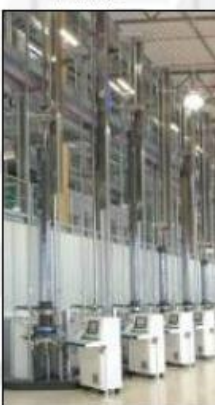
*Czochralski  
(mono)*



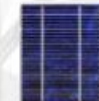
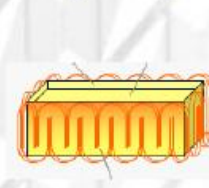
*Floatzone  
(mono)*



*EFG  
(multi)*



*VGF  
(multi)*





# From Principles to Practice



**NaI(Tl)**  
Industrial growth

*Hygroscopicity is not a problem!*



**Si – large size crystal growth**

*Si - industry is an example of efficient and cost reasonable crystals production*



# СОДЕРЖАНИЕ

---

- История и эволюция сцинтилляторов
- В поисках идеального сцинтиллятора
- Каналы потерь энергии
- Понимание растет, предсказуемость – отстает
- Альтернативные технологии
- Можно ли получить дешевый сцинтиллятор?



# Лабораторное качество растет (2007→2012),

НО ТЕХНОЛОГИИ - НЕТ

Crystal	2007 - 2009		2011 - 2014	
	LY ph/Mev	R, % $\text{Cs}^{137}$	LY ph/Mev	R, % $\text{Cs}^{137}$
$\text{SrI}_2:\text{Eu}$	115.000	2.6	115.000	2.6
$\text{Ba}_2\text{CsI}_5:\text{Eu}$	97.000	3.8	102.000	2.55
$\text{SrCsI}_3:\text{Eu}$	65.000	5.2	73.000	3.9
$\text{BaBrI}:\text{Eu}$	81.000	4.8	97.000	3,4

Many AE halides possess with efficiency about fundamental limit

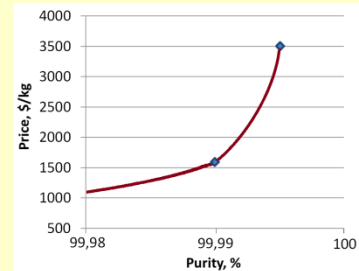
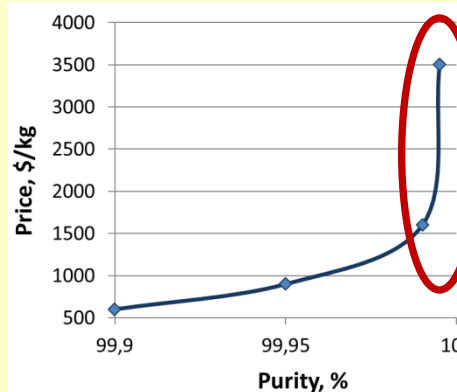
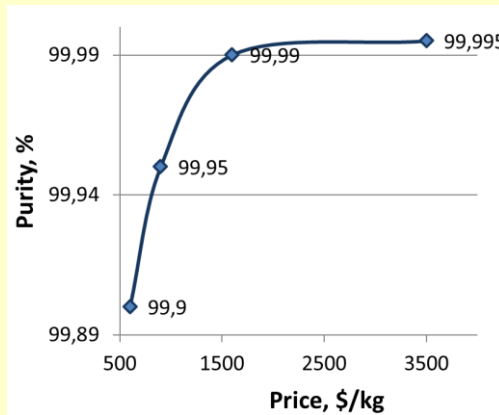
Selection of one (best) scintillator has to base on the technology advantages



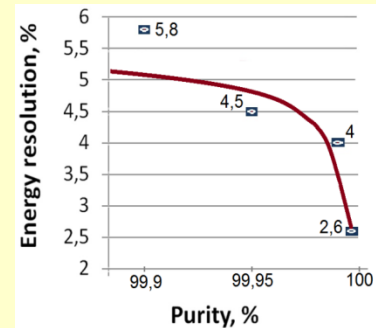
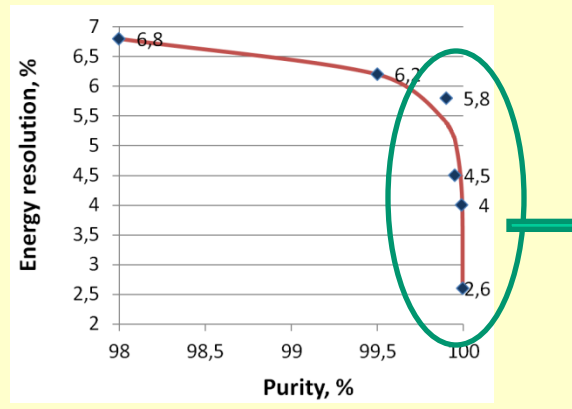
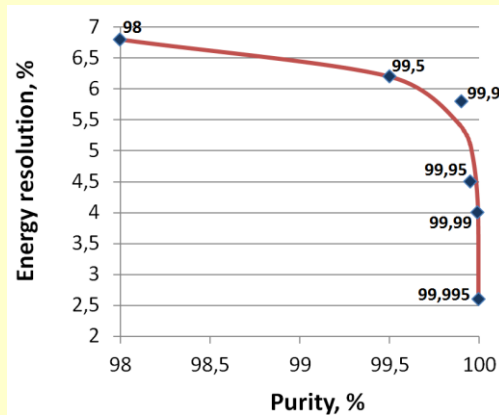
# SrI<sub>2</sub>:Eu : Совершенство сцинтиллятора в зависимости от стоимости сырья

SrI<sub>2</sub>. Raw material cost depending on purity

(Lab level)

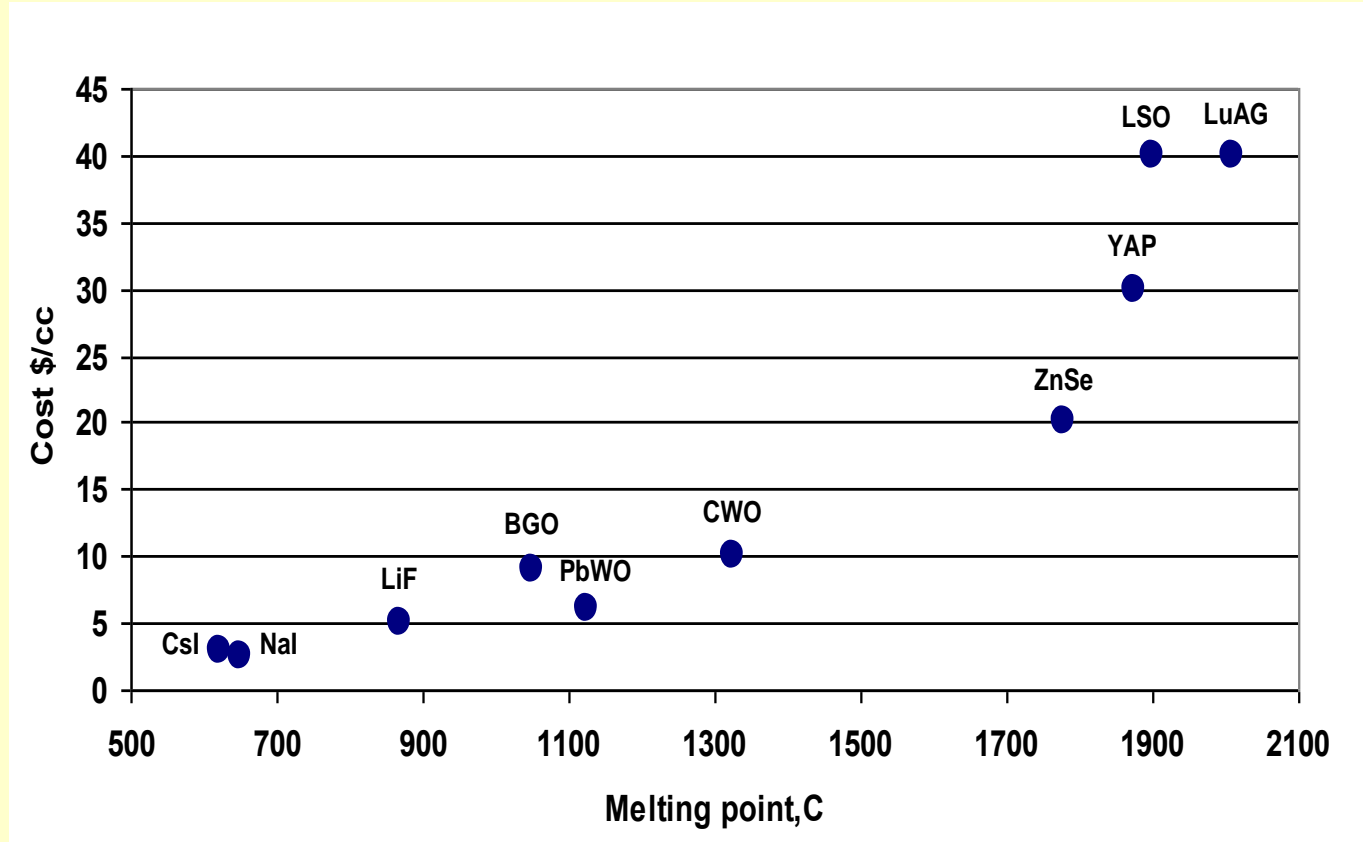


SrI<sub>2</sub>:Eu. Energy resolution vs raw material purity





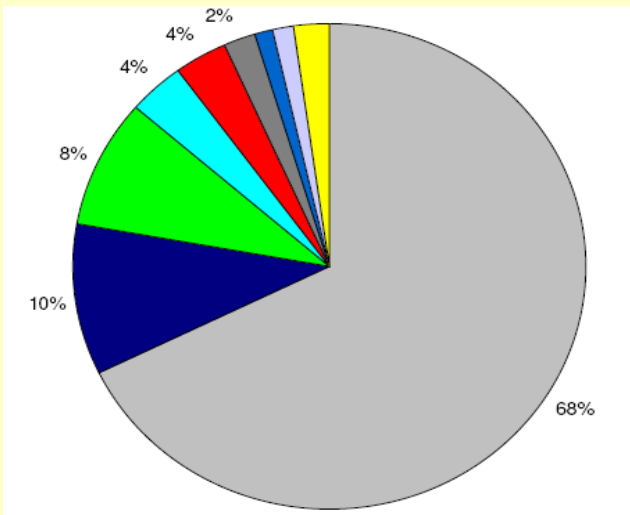
# Примерные стоимости коммерчески доступных сцинтилляторов



100 \$/cc для LaBr<sub>3</sub>:Ce – отражение  
отсутствия промышленной технологии



# Cost structure for single crystal growth



## Crystal cost structure (Si)

68% - raw material

10% - crucible

8% - system cost

4% - labor cost

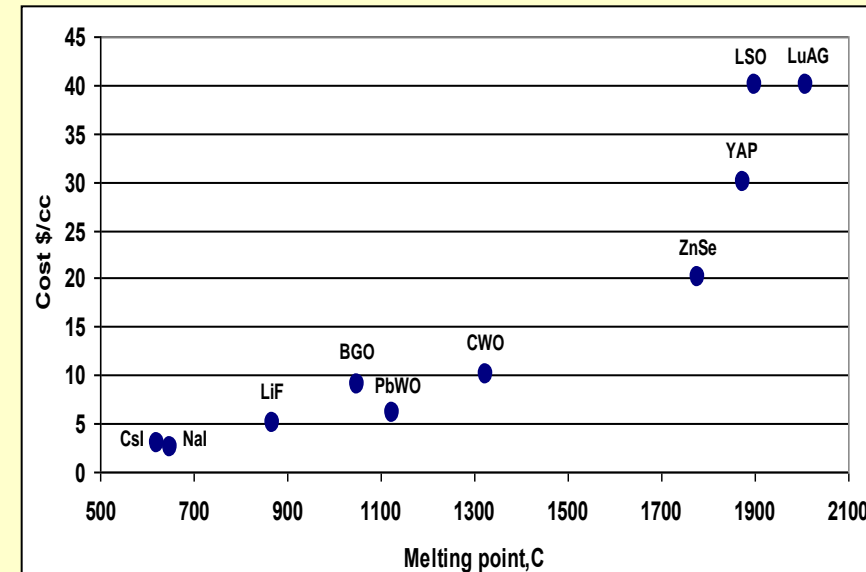
4% - power

6% - other

## Oxides

20% - crucible

17% - power



2010 prices



## Заключение

---

- 65 лет разработок новых сцинтилляторов показывают непрерывный прогресс, но не достижение идеала
- Отсутствие «универсального» сцинтиллятора определяет многообразие выбора оптимального решения
- Понимание физики процессов растет, а предсказуемость результата по прежнему низкая
- Альтернативных технологий много и результаты – схожи. Важно – стоимость сцинтиллятора определяется прежде всего стоимостью сырья



**Благодарю за внимание !**